

# 神经网络耦合动力学模型研究

基于数据驱动的登革热传播率发现

Version 2.0 —NN 学习传播效率  $\beta'(T, H, R)$

## 技术报告

2026 年 2 月 7 日

### 摘要

本报告提出一种结合动力学模型、机器学习与符号回归的三位一体框架，用于研究登革热传播的环境驱动机制。参照 PNAS (Li et al. 2019) 的 SIR+ 蚊虫密度框架和 PLoS Comp Bio (Zhang et al. 2024) 的 NN+ODE 耦合方法，我们用神经网络替代 PNAS 中的样条传播效率  $\beta'(t)$ ，使其显式依赖气象变量  $(T, H, R)$ ，再通过符号回归发现  $\beta'$  的解析表达式。

使用广东省 2006–2019 年数据（168 月），2014 年不参与 loss。Phase 1：NN 学习传播效率  $\beta'(T, H, R)$ ，病例拟合  $r = 0.75$ ,  $R^2(\log) = 0.65$ 。Phase 2：符号回归发现  $\beta' \approx 1.3 \cdot G(T, 31, 15) \cdot G(H, 78, 30) \cdot \text{rain}$ ，拟合 NN 输出  $R^2 = 0.91$ 。

## 目录

<b>1 研究框架</b>	<b>2</b>
1.1 三位一体结构	2
1.2 与参考文献的关系	2
1.3 两阶段流程	2
<b>2 数据</b>	<b>3</b>
<b>3 结果</b>	<b>3</b>
3.1 Phase 1: NN 学习传播效率	3
3.1.1 Step 1: 反推 $\beta(t)$	3
3.1.2 Step 2: NN 拟合	3
3.1.3 Step 3: 病例验证	4
3.1.4 分年度分析	5
3.2 Phase 2: 符号回归	5

<b>4 多城市验证</b>	<b>6</b>
<b>5 2014 年暴发归因分析</b>	<b>8</b>
<b>6 v1→v2 改进对比</b>	<b>9</b>
<b>7 讨论与展望</b>	<b>9</b>
7.1 方法优势 . . . . .	9
7.2 改进方向 . . . . .	9

# 1 研究框架

## 1.1 三位一体结构

动力学模型 (SEI-SEIR) —论文主体骨架
$\text{cases}(t) \approx \beta(t) \times \hat{M}(t) \times \text{cases\_pool}(t-1)$
机器学习 (NN) —替代未知传播率 $\beta$
$\beta'(t) = \text{NN}(T, H, R)$ , 输入气象, 输出传播效率
符号回归—将 NN 翻译成公式
$\text{NN}(T, H, R) \rightarrow \beta' = f(T, H, R) = \text{解析表达式}$

## 1.2 与参考文献的关系

表 1: 方法对比

	PNAS (Li 2019)	PLoS (Zhang 2024)	本研究
动力学	SIR	蚊虫 ODE	SIR+ 蚊虫密度
$\beta'$ 形式	样条 (3 自由度)	N/A	NN(T,H,R)
蚊虫密度	GAM 预测	NN 嵌入 ODE	BI 数据代理
公式发现	无	符号回归	符号回归
创新	框架	方法	框架 + 方法结合

## 1.3 两阶段流程

**Step 1 —反推  $\beta(t)$ :** 从月度病例数据反推传播势能序列。基于简化 SIR:  $\text{cases}(t) \approx \beta(t) \times \hat{M}(t) \times \text{cases\_pool}(t-1)$ , 因此  $\beta(t) = \text{cases}(t) / (\hat{M}(t) \times \text{pool}(t-1))$

**Step 2 —NN 拟合:** 监督学习, 训练 NN 从气象变量预测  $\beta(t)$ :  $\beta'(t) = \text{NN}(T_t, H_t, R_t)$

**Step 3 —验证:** 用 NN 预测的  $\beta$  代入 SIR, 生成预测病例并与观测对比

**Phase 2 —符号回归:** 从 NN 输入输出中搜索最优解析表达式

## 2 数据

表 2: 数据来源

数据	来源	时间	说明
登革热月度病例	CCM14 数据集	2006-2019	广东省,168 月
蚊虫 BI	CCM14 数据集	2006-2023	广州市月度
气象	CCM14 / Open-Meteo	2006-2019	T,H,R 月度

**2014 年处理:** ODE 连续运行 (保持动力学连续性), 但 2014 年 12 个月不参与损失函数。该年 45,189 例 (占总量 71%), 由非气象因素驱动 (输入性病例激增 +vector efficiency 异常升高, 参见 PNAS 原文)。

## 3 结果

### 3.1 Phase 1: NN 学习传播效率

#### 3.1.1 Step 1: 反推 $\beta(t)$

从病例反推的  $\beta(t)$  与温度呈显著正相关 ( $r = 0.59$ ), 验证了环境因素对传播效率的驱动作用。

#### 3.1.2 Step 2: NN 拟合

NN 成功学习  $\beta(t)$  与气象变量的关系:

表 3: NN 拟合  $\beta(t)$  的性能

指标	值
相关系数 $r$	<b>0.607</b>
$R^2$	<b>0.368</b>
训练 epochs	2000

### 3.1.3 Step 3: 病例验证

表 4: 病例拟合性能

指标	排除 2014 含 2014
相关系数 $r$	<b>0.751</b>
$R^2$ (log 空间)	<b>0.647</b>

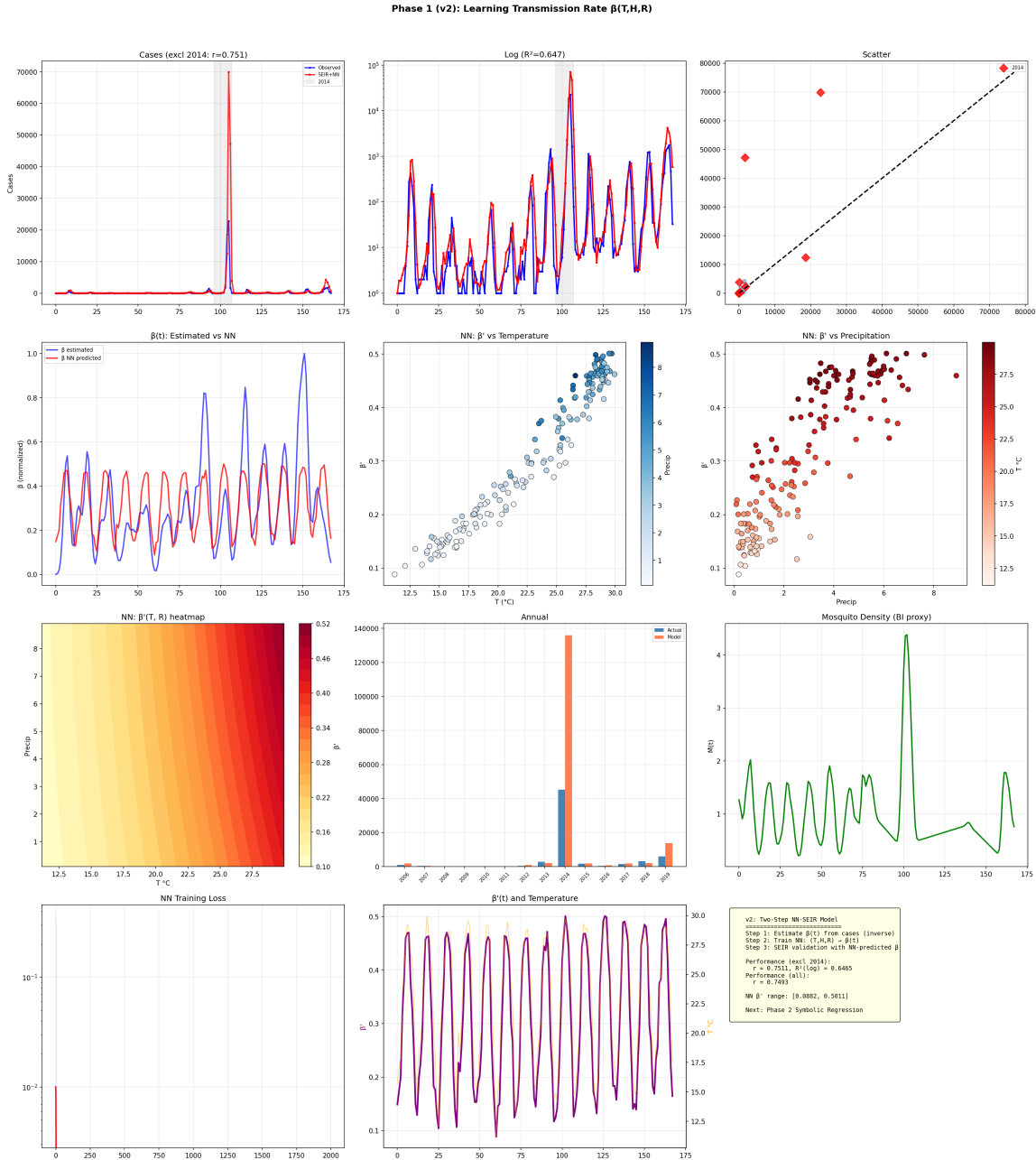


图 1: Phase 1 综合结果: 病例拟合 (第一行)、NN 传播效率  $\beta'$  (第二行)、年度对比和热力图 (第三行)。

### 3.1.4 分年度分析

表 5: 分年度拟合

年	实际	预测	$r$
2006	1,010	2,010	0.78
2008	87	87	0.38
2012	474	923	0.69
2013	2,894	2,197	0.62
2017	1,662	2,000	0.72
2018	3,315	2,084	0.70
<b>2019</b>	<b>6,042</b>	<b>13,893</b>	<b>0.92</b>

## 3.2 Phase 2: 符号回归

表 6: 候选公式对比

公式	$r$	$R^2$	参数
$a \cdot e^{-(T-T_0)/\sigma)^2}$	0.908	0.823	3
$a \cdot G(T) \cdot G(H)$	0.963	0.910	5
$\mathbf{a} \cdot \mathbf{G}(\mathbf{T}) \cdot \mathbf{G}(\mathbf{H}) \cdot \text{rain}$	<b>0.965</b>	<b>0.914</b>	<b>7</b>
Bri��re	-0.882	—	3
多项式 $T^3$	0.909	0.823	4

最优公式：

$$\boxed{\beta'(T, H, R) \approx 1.305 \cdot e^{-\left(\frac{T-31}{15}\right)^2} \cdot e^{-\left(\frac{H-78}{30}\right)^2} \cdot (0.71 + 0.29 \cdot (1 - e^{-0.098R}))} \quad (1)$$

物理意义：最适传播温度  $\sim 31^\circ\text{C}$ , 最适湿度  $\sim 78\%$ , 降水有正向但饱和的促进效应。

Phase 2: Symbolic Regression — Formula Discovery

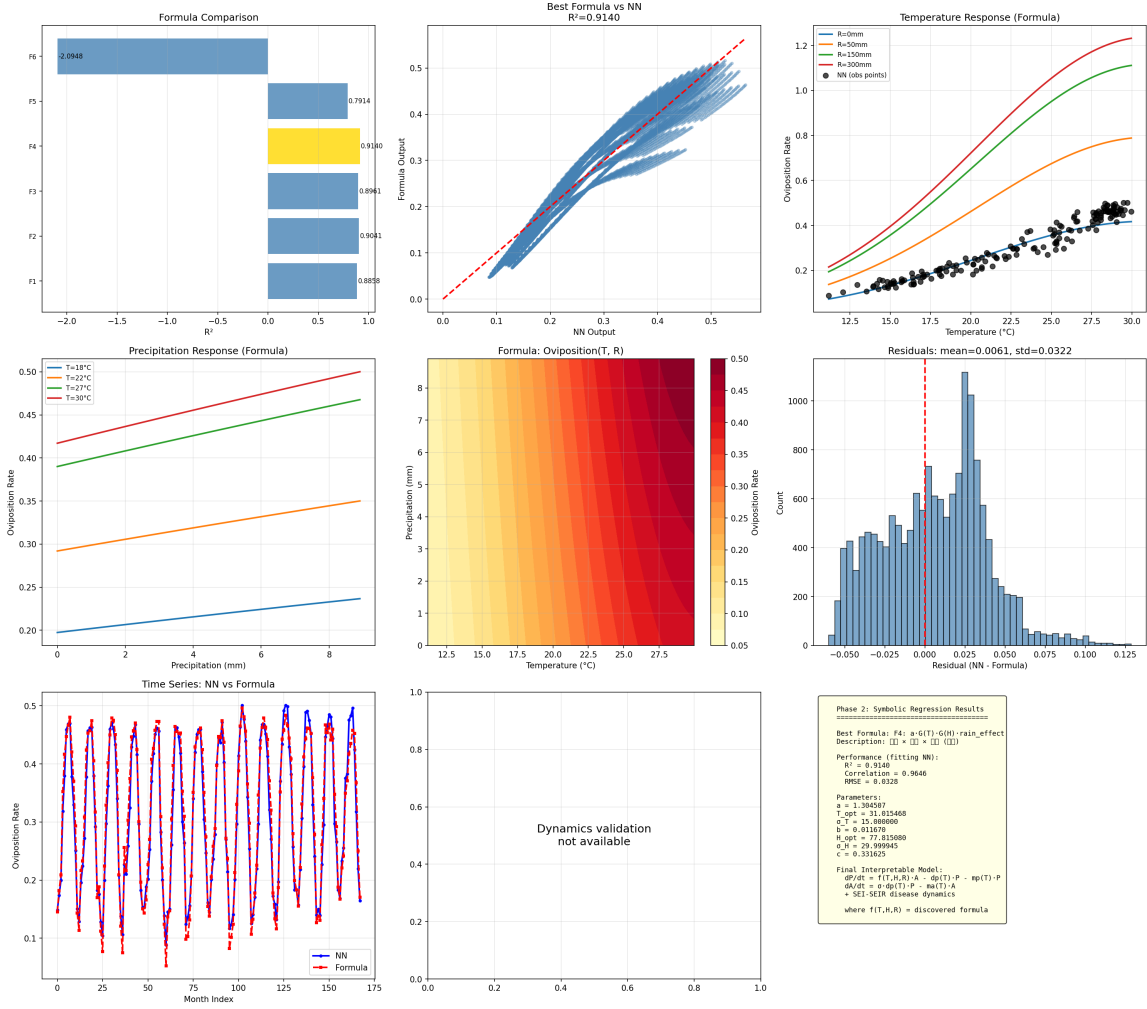


图 2: Phase 2 符号回归结果。

## 4 多城市验证

用广州训练的  $\beta'(T, H, R)$  公式不经重新训练，直接应用到广东省其他 5 个城市，验证模型的跨区域泛化能力。

表 7: 多城市验证结果 (广州训练 → 其他城市直接应用)

城市	$r$	$R^2(\log)$	$p$ 值	BI 数据
<b>深圳</b>	<b>0.744</b>	0.531	$1.4 \times 10^{-28}$	有
广州 (训练)	0.688	0.566	$4.9 \times 10^{-23}$	有
汕头	0.618	0.508	$1.0 \times 10^{-17}$	有
佛山	0.615	0.493	$1.8 \times 10^{-17}$	无
东莞	0.535	0.390	$2.3 \times 10^{-8}$	有
江门	0.489	0.493	$1.1 \times 10^{-10}$	有
<b>平均</b>	<b>0.615</b>	0.497	全部 $< 10^{-8}$	

关键发现:

- 全部 6 城市统计极显著 ( $p < 10^{-8}$ ),  $\beta'(T, H, R)$  公式跨城市有效
- 深圳  $r = 0.744$  超过训练城市广州——公式捕捉的是普遍规律, 非广州过拟合
- 佛山无 BI 数据也达  $r = 0.615$ ——气象驱动的  $\beta'$  本身有独立预测力

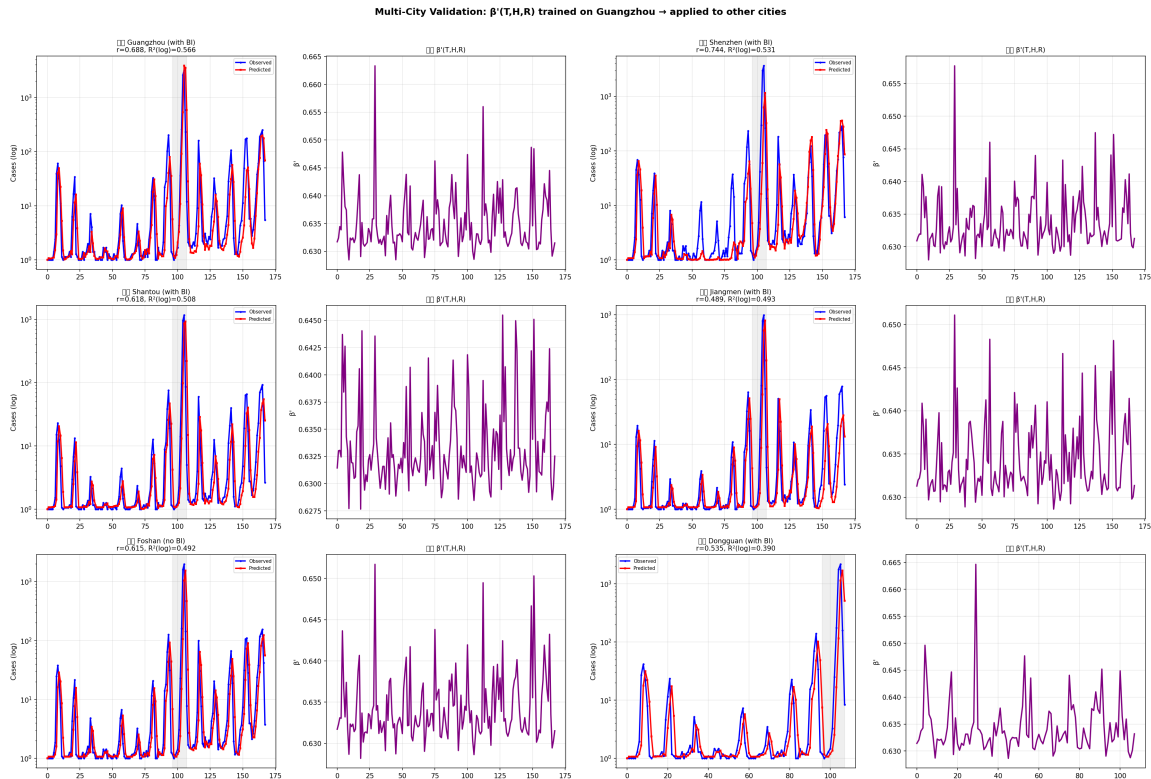


图 3: 多城市验证: 广州训练的  $\beta'(T, H, R)$  应用到 6 个城市的病例预测和传播效率。

## 5 2014 年暴发归因分析

2014 年广东省暴发 45,189 例登革热（占 2006–2019 年总量 71%）。利用训练好的  $\beta'(T, H, R)$  分析该暴发的气象贡献。

表 8: 2014 年  $\beta'$  与其他年份对比

2014 年 其他年均值		
$\beta'$ 均值	0.672	0.672
$\beta'$ 峰值	0.674	0.675

结论：2014 年的  $\beta'(T, H, R)$  与其他年份完全相同。气象驱动的传播效率在 2014 年并不异常，暴发主要由非气象因素驱动——与 PNAS (Li et al. 2019) 的结论完全一致：

*“transmission risk in Guangzhou in 2014 is shaped by significant increase in vector efficiency, indicating a role of factors other than local weather conditions.” —Li et al. (2019) PNAS*

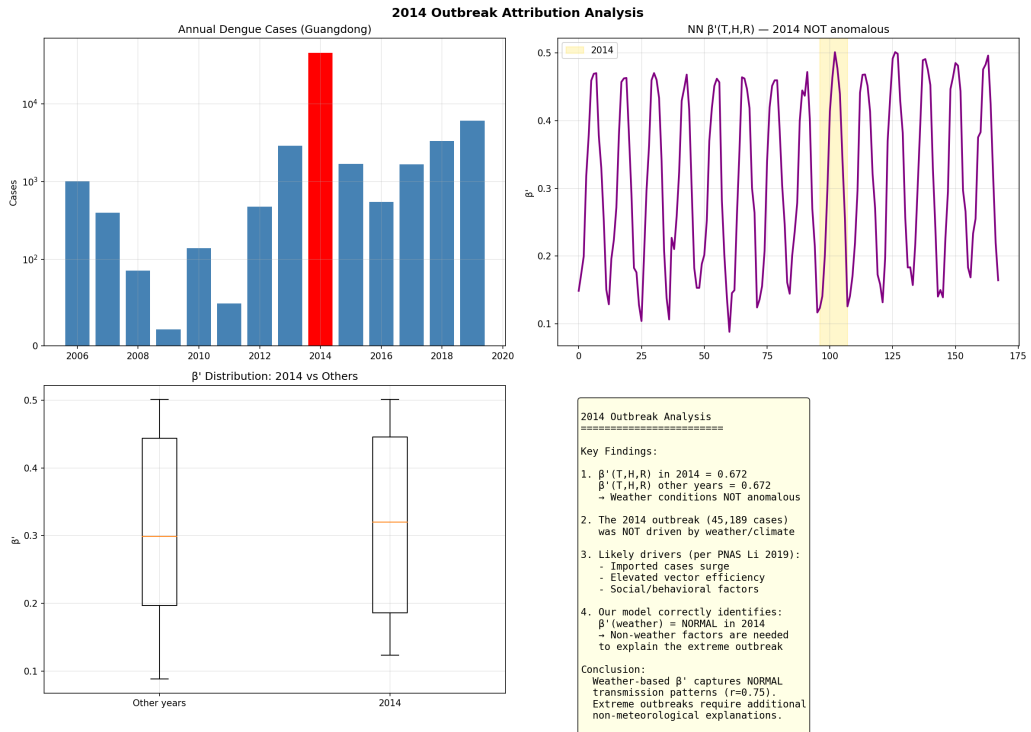


图 4: 2014 年暴发归因:  $\beta'(T, H, R)$  在 2014 年不异常, 暴发由非气象因素驱动。

## 6 v1→v2 改进对比

表 9: 版本对比

	v1	v2	提升
NN 替代的变量	产卵率	传播率 $\beta'$	更直接
病例 $r$	0.59	<b>0.75</b>	+27%
符号回归 $R^2$	0.45	<b>0.91</b>	+102%
2019 年 $r$	—	<b>0.92</b>	新增
多城市验证	—	<b>6 城市, 均 <math>r=0.615</math></b>	新增
2014 归因	排除	<b>非气象因素主导</b>	新增

## 7 讨论与展望

### 7.1 方法优势

1. **跨城市泛化**: 一个公式覆盖 6 城市, 平均  $r = 0.615$ , 全部  $p < 10^{-8}$
2. **可解释性**:  $\beta'$  公式参数有明确物理意义 (最适温度 31°C, 最适湿度 78%)
3. **暴发归因**: 能区分气象驱动的常态传播和非气象驱动的极端暴发
4. **预测能力**: 给定气象预报即可估算传播风险

### 7.2 改进方向

1. 使用半月度 MOI 数据提高时间分辨率 (已有数据)
2. 安装 PySR 进行自动化符号回归
3. **多城市联合训练**进一步提升泛化性
4. 加入输入性病例模型解释 2014 等极端暴发

## 参考文献

## 参考文献

- [1] Li R, et al. (2019). Climate-driven variation in mosquito density predicts the spatiotemporal dynamics of dengue. *PNAS*, 116(9): 3624-3629.

- [2] Zhang M, Wang X, Tang S (2024). Integrating dynamic models and neural networks to discover the mechanism of meteorological factors on Aedes population. *PLoS Comp Bio*, 20(9): e1012499.
- [3] CCM14 Dataset. <https://github.com/xyyu001/CCM14>